



葛根素对大鼠酒精性肝炎的影响及其机制

曲智威, 温春阳, 王爱平, 鞠文博, 任爱华, 刘卯阳, 周艳

曲智威, 温春阳, 王爱平, 北华大学附属医院消化内科 吉林省吉林市 132011

鞠文博, 任爱华, 刘卯阳, 周艳, 北华大学解剖教研室 吉林省吉林市 132011

曲智威, 副主任医师, 副教授, 主要从事胃肠及肝脏疾病的研究。
作者贡献分布: 此课题由曲智威, 温春阳及王爱平设计; 研究过程由鞠文博, 任爱华, 刘卯阳及周艳操作完成; 研究所用新试剂及分析工具由鞠文博提供; 数据分析由曲智威与鞠文博完成; 本论文写作由曲智威, 温春阳及王爱平完成。

通讯作者: 曲智威, 132011, 吉林省吉林市解放大路中12号, 北华大学附属医院消化内科. zhiweiq@sina.com.cn

电话: 0432-2166402 传真: 0432-2034309

收稿日期: 2008-11-23 修回日期: 2009-01-15

接受日期: 2009-02-09 在线出版日期: 2009-03-08

Protective effect of puerarin on rats with alcoholic hepatitis

Zhi-Wei Qu, Chun-Yang Wen, Ai-Ping Wang,
Wen-Bo Ju, Ai-Hua Ren, Mao-Yang Liu, Yan Zhou

Zhi-Wei Qu, Chun-Yang Wen, Ai-Ping Wang, Department of Gastroenterology, the Affiliated Hospital of Beihua University, Jilin 132011, Jilin Province, China

Wen-Bo Ju, Ai-Hua Ren, Mao-Yang Liu, Yan Zhou, Department of Anatomy, Beihua University, Jilin 132011, Jilin Province, China

Correspondence to: Dr. Qu Zhi-Wei, Department of Gastroenterology, the Affiliated Hospital of Medical College of Beihua University, 12 Jeifang Middle Road, Jilin 132011, Jilin Province, China. zhiweiq@sina.com.cn

Received: 2008-11-23 Revised: 2009-01-15

Accepted: 2009-02-09 Published online: 2009-03-08

Abstract

AIM: To investigate mechanism of puerarin on alcoholic hepatitis in rats.

METHODS: Twenty-one Wistar rats were divided into three groups randomly, with intragastric administration of the control group by corn oil + 500 g/L glucose 20 mL/(kg•d); intragastric administration of the model group by 400 mL/L alcohol 8 g/(kg•d)+ corn oil; peritoneal injection of the puerarin group by puerarin 5 mg/(kg•d); After thirty days. Serum and liver tissue samples were prepared, and the levels of alanine transaminase (ALT), aspartate transaminase (AST), and γ -glutamyltranspeptidase (GST) were determined by chromatometry, serum PGE2, TNF- α and IL-6 by radioimmunity method, and COX-2 expression on the hepatic tissue by Western blot.

Pathological changes on hepatic tissue was determined by light microscopy.

RESULTS: The serum ALT, AST and GST was significantly higher in model group than in control group (107.5 ± 6.81 vs 33.20 ± 10.55 , 138.29 ± 9.72 vs 47.86 ± 14.3 , 3.57 ± 0.53 vs 1.43 ± 0.43 , all $P < 0.01$). The serum ALT and AST was significantly lower in puerarin group than in model group (52.33 ± 13.19 , 63.33 ± 7.03 , $P < 0.01$). The serum GST level was lower, but not significantly. The levels of serum PGE2, TNF- α and IL-6 were significantly higher in model group than in control group (274.13 ± 26.15 vs 193.84 ± 23.97 , 1.85 ± 0.11 vs 0.90 ± 0.18 , 68.07 ± 12.64 vs 40.50 ± 5.09 , all $P < 0.01$), and the levels of the serum PGE2, TNF- α and IL-6 were significantly lower in puerarin group than in model group (227.05 ± 21.55 , 1.35 ± 0.19 , 53.16 ± 5.62 , all $P < 0.01$). Expression of COX-2, was weak, but had high expression in model group ($P < 0.01$). The expression of COX-2 in puerarin group was down regulated, compared with model group ($P < 0.01$).

CONCLUSION: Puerarin has effects on hepatic injury in alcoholic hepatitis.

Key Words: Puerarin; Alcoholic hepatitis; Prostaglandin E2; Tumor necrosis factor; Interleukin-6; Cyclooxygenase type 2

Qu ZW, Wen CY, Wang AP, Ju WB, Ren AH, Liu MY, Zhou Y. Protective effect of puerarin on rats with alcoholic hepatitis. Shijie Huaren Xiaohua Zazhi 2009; 17(7): 657-661

摘要

目的: 探讨葛根素对酒精性肝炎的作用机制。

方法: 21只Wistar大鼠, 随机分为3组, 正常对照组($n = 7$)用玉米油+500 g/L葡萄糖20 mL/(kg•d)灌胃, 模型组($n = 7$)用400 mL/L乙醇按8 g/(kg•d)+玉米油灌胃, 葛根素组($n = 6$): 葛根素+酒精, 按葛根素5 mg/(kg•d)腹腔注射给药。采用比色法测定血清AST, ALT及GST, 放免法测定血浆PGE2, TNF及IL-6, Western blot方法

■背景资料

酒精性肝炎(AL)
目前尚无特效的治疗药物, 本研究为葛根素对酒精性肝炎的实验研究, 探讨了葛根素对酒精性肝炎的作用机制。

■同行评议者

李军祥, 教授, 北京中医药大学附属东方医院消化内科

■相关报道

Bykov *et al*报道
酒精性肝病PGE2及TNF升高，而用COX-2抑制剂Celecoxib可以显著改善酒精性肝病的肝损害。

检测肝组织COX-2表达，并通过光镜观察肝组织病理变化。

结果：血浆ALT, AST及GST模型组与正常对照组比较有明显升高(107.5 ± 6.81 vs 33.20 ± 10.55 , 138.29 ± 9.72 vs 47.86 ± 14.3 , 3.57 ± 0.53 vs 1.43 ± 0.43 , 均 $P < 0.01$)；与模型组比较，葛根素组血浆ALT及AST水平(52.33 ± 13.19 , 63.33 ± 7.03)有明显下降($P < 0.01$)。GST有下降趋势，但无明显意义；模型组与正常对照组比较血浆PGE2, TNF及IL-6明显上升(274.13 ± 26.15 vs 193.84 ± 23.97 , 1.85 ± 0.11 vs 0.90 ± 0.18 , 68.07 ± 12.64 vs 40.50 ± 5.09 , 均 $P < 0.01$)；与模型组比较，葛根素组血浆PGE2, TNF及IL-6明显下降(227.05 ± 21.55 , 1.35 ± 0.19 , 53.16 ± 5.62 , 均 $P < 0.01$)，COX-2正常对照组呈弱表达，模型组显著高表达，与正常对照组比较差别显著($P < 0.01$)，葛根素组COX-2表达下调，与模型组相比有明显下调($F = 27.94$, $P < 0.01$)。

结论：葛根素通过抑制肝脏COX-2的表达，从而减少炎症介质PGE2、TNF及IL-6的生成，最终减轻酒精对肝脏的损伤作用。

关键词：葛根素；酒精性肝炎；前列腺素E2；肿瘤坏死因子；白介素6；环氧化物酶2

曲智威, 温春阳, 王爱平, 鞠文博, 任爱华, 刘卯阳, 周艳. 葛根素对大鼠酒精性肝炎的影响及其机制. 世界华人消化杂志 2009; 17(7): 657-661

<http://www.wjgnet.com/1009-3079/17/657.asp>

0 引言

酒精性肝炎(alcoholic hepatitis, AL)为常见病及多发病，严重者发展为肝坏死或肝功能衰竭，进一步发展为肝硬化、肝癌、肝昏迷等合并症^[1-2]。目前尚无特效的治疗药物。目前应用于临床试验研究的药物有糖皮质激素，己酮可可碱，抗氧化剂，抗TNF-α抗体等^[2]。从中医中药角度为治疗酒精性肝炎提供了新途径，葛根素(puerarin)是从豆科植物野葛的干燥根中提取的一种化学成分，其化学名为8-β-D葡萄糖-4',7二羟基异黄酮^[3-6]。葛根素药理实验研究表明，其具有抗酒精中枢抑制作用，对心肌的保护作用，对肾的保护作用，抗氧化作用抗缺血再灌注损伤作用，抗酒精中枢抑制作用，降血糖，防治糖尿病及其并发症，改善血液流变学指标，改善微循环和抗血小板聚集的作用。临幊上有报道用葛根素治疗酒精性肝炎冠心病等^[9-12]，但对酒精性肝炎的

实验研究国内外未见报道。

1 材料和方法

1.1 材料 兔抗鼠COX-2多克隆抗体(美国Cayman公司)；小鼠抗大鼠，β-actin mAb(美国Sigma公司)；生物素标记的羊抗兔二抗(英国KPL公司)，辣根过氧化物酶标记羊抗兔及羊抗鼠二抗、化学发光剂ECL(北京中山生物技术有限公司)，PGE2, TNF及IL-6放免试剂盒(北京北方生物技术研究所)。葛根素注射液为北京协和药厂生产(批号国药准字H2003122)，硝酸纤维素膜(北京鼎国生物技术有限责任公司)，其他试剂均为分析纯。

1.2 方法

1.2.1 分组：21只Wistar大鼠，♂，体质量170-220 g，购于吉林大学动物部(许可证号SCXK 2003-007)，随机分为3组，对照组($n = 7$)用玉米油2 g/(kg·d)+500 g/L葡萄糖20 mL/(kg·d)灌胃，模型组($n = 7$)用400 g/L乙醇按8 g/(kg·d)+玉米油2 g/(kg·d)灌胃，葛根素组($n = 7$)：葛根素+酒精，葛根素0.05 g/dL，按葛根素5 mg/kg ig给药，处死大鼠取血清及肝脏。给药30 d造模结束后，采用巴比妥钠麻醉、腹主动脉采血后处死大鼠，共剩余对照组7只，模型组7只，葛根素组6只。各取全血约4-5 mL, 4000 r/min, 10 min离心后收集上清分装-70℃保存。取肝右叶生理盐水洗净，滤纸吸干盐水后分成数份，1份于100 g/L中性甲醛溶液中固定，其他于液氮速冻数分钟后-70℃保存。

1.2.2 血清AST, ALT, GST的测定：采用比色法，用日立7170全自动生化分析仪检测。

1.2.3 血清PGE2, TNF及IL-6的测定：采用¹²⁵I标记放射免法测定，按试剂盒说明书进行。所用仪器为FJ-2008PSγ计数器。3000 r/min, 3 s离心，-70℃保存待检，检测前40℃ 3500 r/min, 离心15 min，取上清液分别检测。

1.2.4 肝组织病理学检查：光镜观察肝组织，100 g/L甲醛固定标本，乙醇梯度脱水，二甲苯透明。

1.2.5 COX-2表达检测：使用Western blot方法检测肝组织COX-2表达，冷冻的肝组织称质量后按1:10比例用三去污蛋白裂解液裂解，离心10000 r/min, 5 min, 2次，取上清。用考马斯亮蓝(G250)测定蛋白含量。以每样品总蛋白为150 μg上样，用不连续100 g/L SDS聚丙烯酰胺凝胶电泳，半干转转蛋白至硝酸纤维素膜：100 g/L脱脂奶粉封闭；一抗4℃过夜；TBS洗膜；辣根过氧化物酶标记二抗37℃ 2 h，TBST洗膜，ECL作用后X胶

表 1 各组血清ALT, AST及GST变化 (mean \pm SD, IU/L)

分组	n	ALT	AST	GST
对照组	7	33.20 \pm 10.55	47.86 \pm 14.30	1.43 \pm 0.43
模型组	7	107.50 \pm 6.81 ^b	138.29 \pm 9.72 ^b	3.57 \pm 0.53 ^b
葛根素组	6	52.33 \pm 13.19 ^d	63.33 \pm 7.03 ^d	3.00 \pm 0.63
F值		96.82	134.49	30.02

^bP<0.01 vs 对照组; ^dP<0.01 vs 模型组.

表 2 血清PGE2, TNF及IL-6的变化 (mean \pm SD, μ g/L)

分组	n	PGE2	TNF	IL-6
对照组	7	193.84 \pm 23.97	0.90 \pm 0.18	40.50 \pm 5.09
模型组	7	274.13 \pm 26.15 ^b	1.85 \pm 0.11 ^b	68.07 \pm 12.64 ^b
葛根素组	6	227.05 \pm 21.55 ^c	1.35 \pm 0.19 ^c	53.16 \pm 5.62 ^c
F值		19.60	61.04	17.83

^bP<0.01 vs 对照组; ^cP<0.05 vs 模型组.

片曝光, 经显影、定影等处理后观察结果. 并用Bandscan软件作灰度扫描分析, 用COX-2与内参(β -actin)灰度值比值表示各样本COX-2表达强度, 并作统计学处理.

统计学处理 数据以mean \pm SD表示, 用SPSS13.5统计软件处理数据, 采用方差分析和最小显著法检验, P<0.05或0.01具有显著性差异.

2 结果

2.1 一般情况 实验过程中乙醇灌胃组有1只大鼠死亡, 死因为灌胃误入气管. 正常对照组存活大鼠初始体质量各组相比没有显著性差异. 实验中, 大鼠的一般表现: 正常对照组被毛光滑, 精神状态好, 食欲佳, 体质量增加. 模型组大鼠精神萎靡, 活动减少, 食欲减退, 消瘦, 皮毛无光泽, 有脱毛现象, 体质量较前有所下降. 给药组大鼠精神、食欲及活动介于正常组与模型组之间.

2.2 肝脏的病理学变化

2.2.1 肉眼观: 正常大鼠肝脏被膜光滑, 呈红褐色, 明亮有光泽. 模型组大鼠肝脏体积明显增大, 包膜紧张, 边缘圆钝, 颜色浅黄或土黄色, 与周围组织有粘连, 可见局灶性黄白色变性灶, 切面油腻, 无光泽. 给药组肝脏变化介于正常组与模型组之间, 颜色较正常组浅, 较模型组深, 无局灶黄白色变性灶, 切面无明显油腻感, 尚有光泽.

2.2.2 HE染色: 正常对照组, 大鼠肝细胞以中央静脉为中心呈放射状排列, 细胞形态正常, 小叶结构正常(图1A); 模型组有细胞肿胀, 细胞内轻

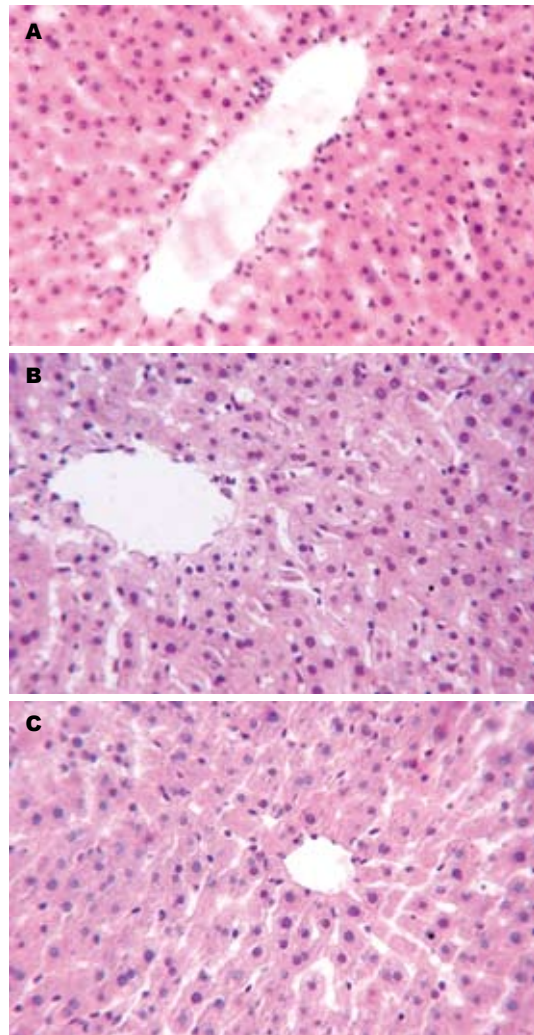


图 1 肝脏组织病理学变化(HE染色 \times 400). A: 对照组; B: 模型组; C: 葛根素组.

度气球样变, 有小叶结构紊乱, 但无明显肝细胞坏死、炎症细胞浸润及明显脂肪肝改变(图1B); 葛根素组肝细胞亦有轻度细胞肿胀, 几乎无气球样变, 小叶结构基本正常(图1C).

2.3 肝脏生化指标的变化 由表1所见血浆ALT, AST及GST模型组与正常对照组比较有明显升高, 差别均有显著性意义(P<0.01); 葛根素组与模型组比较血浆ALT, AST及与正常对照组比较有明显下降, 差别均有显著性意义(P<0.01), GST与模型组比较有下降趋势, 但无显著意义(P>0.05), 葛根素具有保护肝细胞损伤作用.

2.4 血清PGE2, TNF及IL-6的变化 由表2所见模型组血清PGE2, TNF及IL-6与正常对照组比较有明显升高, 差别均有显著性意义(P<0.01); 葛根素组与模型组比较血清PGE2, TNF及IL-6明显下降, 差别均有显著性意义(P<0.05), 葛根素具有减少炎症介质PGE2, TNF及IL-6作用.

■创新点
本文从组织学, 免疫学及分子生物学角度探讨了葛根素对酒精性肝炎的作用机制.

■应用要点

本文从中医中药角度为治疗酒精性肝炎提供了新途径。

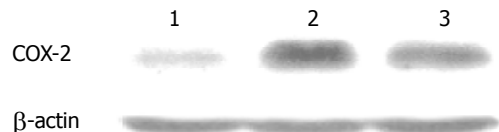


图 2 COX-2在肝组织中的表达. 1: 对照组; 2: 模型组; 3: 葛根素组.

2.5 肝组织COX-2表达 正常对照组呈弱表达, 模型组显著高表达, 与对照组比较差别显著($P<0.01$, 图2). 葛根素组COX-2表达下调, 与模型组相比有明显下调($P<0.01$), $F=27.94$. 经计算机Bandscan软件分析其灰度值, COX-2灰度值与 β -actin灰度值比值为: 对照组($n=7$)为 0.196 ± 0.079 , 模型组($n=7$)为 0.421 ± 0.033 , 葛根素组($n=6$)为 0.281 ± 0.046 .

3 讨论

COX是前列腺素类(prostaglandins, PGs)物质合成过程中的一个限速酶. COX-2是他的一个亚型, 他在正常组织中不表达或低表达, 但在炎症、肿瘤等病理状态下, 可受众多因素的刺激, 使其表达明显升高^[13-15]. 已经有实验证实, 在酒精性肝炎中, 肝脏COX-2表达明显升高, 使其合成产物PGE2升高, 加重酒精性肝炎的各种病理损伤. 本实验通过建立酒精性肝损伤的大鼠模型, 观察葛根素对大鼠酒精肝损伤的影响, 同时测定肝组织COX-2的表达, 以明确COX-2与肝损伤的关系, 探索葛根素及选择性COX-2抑制剂对酒精性肝损伤的影响. 本实验表明对照组呈弱表达, 模型组显著高表达, 与对照组比较差别显著. 葛根素组COX-2表达下调, 与模型组相比有明显下调, 与Bykov *et al*报道一致^[16].

酒精性肝损伤时, 首先损害线粒体, 因肝细胞内线粒体AST浓度大大超过肝窦血液中的浓度, 即使肝细胞无明显坏死, 而仅有肝细胞膜的通透性增加时, 血中AST的浓度就可明显升高^[17-20], 故他是酒精性肝损伤的敏感指标而血清ALT则在酒精性肝炎时可正常或轻微升高. 本实验中, 虽然肝组织学改变没有达到明显脂肪肝、酒精性肝纤维化的程度, 但仍明显存在肝细胞损伤, 故其血清ALT、AST在模型组中较对照组均有明显升高. 而经葛根素组, 其AST、ALT较肝损伤组均有降低, 提示葛根素可以减轻酒精所致大鼠肝细胞损伤. GST主要存在于细胞膜和微粒体上, 参与谷胱甘肽的代谢, 当肝细胞损伤时, 即释放到血液中^[21]. 本实验结果显

示, 在酒精性肝损伤的模型组中, 血浆GST活性升高, 模型组与对照组相比均有显著性意义, 其同时出现的血清AST、ALT升高也说明了这一点^[22-24]. 在使用葛根素血浆GST有下降趋势, 但无统计学意义, 表明葛根素可以减轻酒精所致大鼠肝细胞损伤.

急性酒精性肝炎的病理学特点是伴有肝细胞损伤的炎症性改变, 其机制为炎症因子释放, 过氧化物打击, 内毒素的释放, Kupffer的侵润等, 炎症因子有PGE2, TNF, TGF及IL-6等, PGE2为COX-2的代谢产物, Bykov *et al*报道酒精性肝病PGE2及TNF升高, 而用COX-2抑制剂Celecoxib可以显著改善酒精性肝病的肝损害^[16], 我们的结果表明模型组血清PGE2, TNF及IL-6与对照组比较有明显升高, 差别均有显著性意义; 葛根素组与模型组比较血清PGE2, TNF及IL-6明显下降, 差别均有显著性意义, 葛根素具有减少炎症介质PGE2, TNF及IL-6作用.

以上结果表明, 在酒精性肝损伤过程中, 早期的肝组织化学性炎症改变即可刺激其COX表达, 进而导致炎症介质PGE2, TNF及IL-6的释放. 而使用葛根素可以拮抗上述变化, 从而减轻酒精导致的肝组织损伤.

4 参考文献

- 1 David AB, Sigmund S. pathogenesis of alcoholic hepatitis, *J Gastroenterol Hepatol* 2004; 19: S229-S235
- 2 Reuben A. Alcohol and the liver. *Curr Opin Gastroenterol* 2007; 23: 283-291
- 3 Irie M, Suzuki N, Sohda T, Anan A, Iwata K, Takeyama Y, Watanabe H, Fischer P, Scherberich JE, Sakisaka S. Hepatic expression of gamma-glutamyltranspeptidase in the human liver of patients with alcoholic liver disease. *Hepatol Res* 2007; 37: 966-973
- 4 Day CP. Treatment of alcoholic liver disease. *Liver Transpl* 2007; 13: S69-S75
- 5 Nagata K, Suzuki H, Sakaguchi S. Common pathogenic mechanism in development progression of liver injury caused by non-alcoholic or alcoholic steatohepatitis. *J Toxicol Sci* 2007; 32: 453-468
- 6 Tome S, Lucey MR. Review article: current management of alcoholic liver disease. *Aliment Pharmacol Ther* 2004; 19: 707-714
- 7 Zhang SY, Chen G, Wei PF, Huang XS, Dai Y, Shen YJ, Chen SL, Sun-Chi CA, Xu HX. The effect of puerarin on serum nitric oxide concentration and myocardial eNOS expression in rats with myocardial infarction. *J Asian Nat Prod Res* 2008; 10: 373-381
- 8 Ding MP, Feng F, Hu HT. [Effects of puerarin on expression of nuclear factor kappaB after cerebral ischemia/reperfusion in rats] *Zhongguo Zhongyao Zazhi* 2007; 32: 2515-2518
- 9 Tan Y, Liu M, Wu B. Puerarin for acute ischaemic stroke. *Cochrane Database Syst Rev* 2008; CD004955
- 10 Liu R, Meng F, Bai H, Liu Y, Tang CW, Liu BW.

- [Inhibitory effect of quercetin, rutin and puerarin on LDL oxidation induced by Cu²⁺] *Zhongguo Zhongyao Zazhi* 2007; 32: 2058-2062
- 11 Hwang YP, Choi CY, Chung YC, Jeon SS, Jeong HG. Protective effects of puerarin on carbon tetrachloride-induced hepatotoxicity. *Arch Pharm Res* 2007; 30: 1309-1317
- 12 Singh AK, Jiang Y, Benhabib E, Gupta S. Herbal mixtures consisting of puerarin and either poly enylphosphatidylcholine or curcumin provide comprehensive protection against alcohol-related disorders in P rats receiving free choice water and 15% ethanol in pure water. *J Med Food* 2007; 10: 526-542
- 13 Samaka RM, Abdou AG, Abd El-Wahed MM, Kandil MA, El-Kady NM. Cyclooxygenase-2 expression in chronic gastritis and gastric carcinoma, correlation with prognostic parameters. *J Egypt Natl Canc Inst* 2006; 18: 363-374
- 14 Harada N, Okajima K, Uchiba M, Kushimoto S, Isobe H. Antithrombin reduces ischemia/reperfusion-induced liver injury in rats by activation of cyclooxygenase-1. *Thromb Haemost* 2004; 92: 550-558
- 15 Warford-Woolgar L, Peng CY, Shuhya J, Wakefield A, Sankaran D, Ogborn M, Aukema HM. Selectivity of cyclooxygenase isoform activity and prostanoid production in normal and diseased Han:SPRD-cy rat kidneys. *Am J Physiol Renal Physiol* 2006; 290: F897-F904
- 16 Bykov IL, Palmen M, Rainsford KD, Lindros KO. Chronic effects of celecoxib, a cyclooxygenase-2 inhibitor, cause enhanced alcohol-induced liver steatosis in rats. *Inflammopharmacology* 2006; 14: 36-41
- 17 Nanji AA, Jokelainen K, Lau GK, Rahemtulla A, Tipoe GL, Polavarapu R, Lalani EN. Arginine reverses ethanol-induced inflammatory and fibrotic changes in liver despite continued ethanol administration. *J Pharmacol Exp Ther* 2001; 299: 832-839
- 18 Senthilkumar R, Nalini N. Effect of glycine on tissue fatty acid composition in an experimental model of alcohol-induced hepatotoxicity. *Clin Exp Pharmacol Physiol* 2004; 31: 456-461
- 19 Saravanan N, Nalini N. Antioxidant effect of Hemidesmus indicus on ethanol-induced hepatotoxicity in rats. *J Med Food* 2007; 10: 675-682
- 20 Tipoe GL, Liang EC, Casey CA, Donohue TM Jr, Eagon PK, So H, Leung TM, Fogt F, Nanji AA. A voluntary oral ethanol-feeding rat model associated with necroinflammatory liver injury. *Alcohol Clin Exp Res* 2008; 32: 669-682
- 21 Irie M, Suzuki N, Sohda T, Anan A, Iwata K, Takeyama Y, Watanabe H, Fischer P, Scherberich JE, Sakisaka S. Hepatic expression of gamma-glutamyltranspeptidase in the human liver of patients with alcoholic liver disease. *Hepatol Res* 2007; 37: 966-973
- 22 Izu H, Shobayashi M, Manabe Y, Goto K, Iefuji H. Sake yeast suppresses acute alcohol-induced liver injury in mice. *Biosci Biotechnol Biochem* 2006; 70: 2488-2493
- 23 Cui JW, Hu YY, Fang ZH, Wang XN, Cheng Y, Jing-Hua P, Feng Q, Hui Z. Intervention effects of Jianpi Liqi Huoxue Decoction on lipid peroxidative liver injury induced by alcohol. *Chin J Integr Med* 2006; 12: 281-286
- 24 Pari L, Karthikesan K. Protective role of caffeic acid against alcohol-induced biochemical changes in rats. *Fundam Clin Pharmacol* 2007; 21: 355-361

■同行评价

本文总体设计合理, 方法恰当, 结果可靠, 具有较好的参考价值。

编辑 李军亮 电编 吴鹏朕

ISSN 1009-3079 CN 14-1260/R 2009年版权归世界华人消化杂志

•消息•

世界华人消化杂志英文摘要要求

本刊讯 本刊英文摘要包括目的、方法、结果、结论, 书写要求与中文摘要一致。具体格式要求如下: (1)题名 文章的题名应言简意赅, 方便检索, 英文题名以不超过10个实词为宜, 应与中文题名一致; (2)作者 署名一般不超过8人。作者姓名汉语拼音拼写法规定为: 先名, 后姓; 首字母大写, 双名之间用半字线“-”分开, 多作者时姓名间加逗号。格式如: “潘伯荣”的汉语拼写法为“Bo-Rong Pan”; (3)单位 先写作者, 后写单位的全称及省市邮政编码。例如: Xu-Chen Zhang, Li-Xin Mei, Department of Pathology, Chengde Medical College, Chengde 067000, Hebei Province, China; (4)基金资助项目 格式如: Supported by National Natural Science Foundation of China, No.30224801; (5)通讯作者 格式如: Correspondence to: Dr. Lian-Sheng Ma, Taiyuan Research and Treatment Center for Digestive Diseases, 77 Shuangta Xijie, Taiyuan 030001, Shanxi Province, China. wjcd@wjgnet.com; (6)收稿及修回日期 格式如: Received: . (常务副总编辑: 张海宁 2009-03-08)